

1. 凹凸纹理简介

凹凸纹理（Bump Mapping）是计算机图形学中，使物体表面仿真出褶皱效果的技术，该技术通过（1）扰动对象平面的法向量，（2）利用扰动的法向量进行光照计算，来实现。物体表面呈现出来的褶皱效果，不是由于物体几何结构的变换，而是光照计算的结果，凹凸纹理技术的基本思想最早由 James Blinn 在 1978 年提出的^[1]。凹凸纹理的效果如图 1 所示^[2]，左图是一个光滑的小球，中间图是一张扰动纹理贴图，通过它来扰动小球平面的法向量，再经过光照计算，就能产生右图所示的带有褶皱表面的小球。

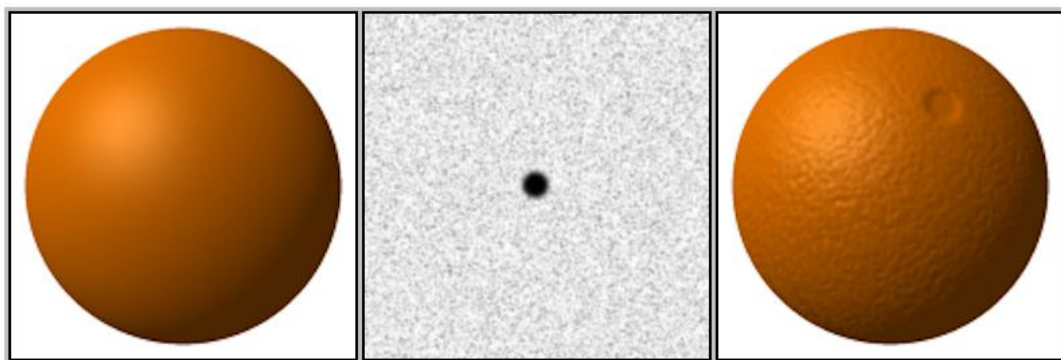


图 1. 凹凸纹理效果图

2. Blinn 技术

2.1. 数学原理

任何一个三维几何面片，可以用三个带有两个变量的参数形式的表示：

$$X = X(u, v), Y = Y(u, v), Z = Z(u, v) \quad (1)$$

其中， u, v 的取值在区间 $[0, 1]$ 之间，几何面片的局部点的偏微分表示该点的两个方向向量：

$$\vec{P}_u = (x_u, y_u, z_u), \vec{P}_v = (x_v, y_v, z_v) \quad (2)$$

单位向量 \vec{P}_u, \vec{P}_v 表示与该局部点相切的两个方向的切线，那么该点的法向量可以通过这两个切线向量的叉积得到，如图 2 所示：

$$\vec{N} = \vec{P}_u \times \vec{P}_v \quad (3)$$

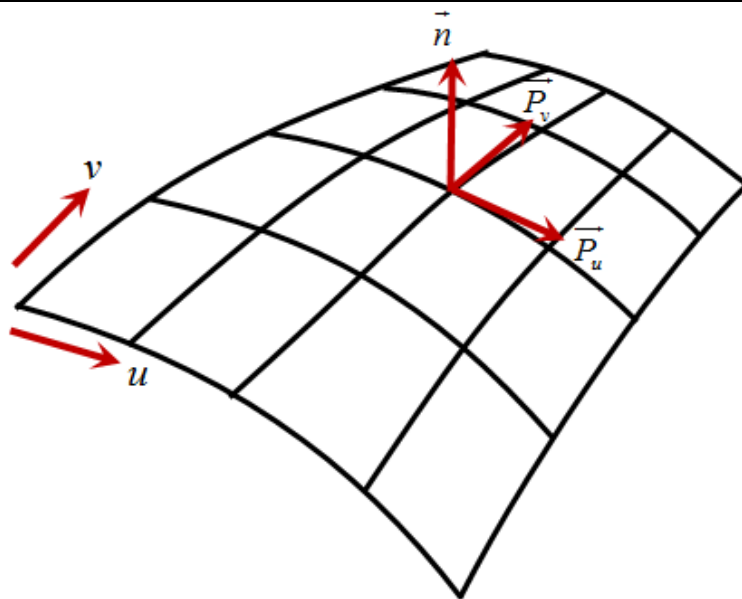
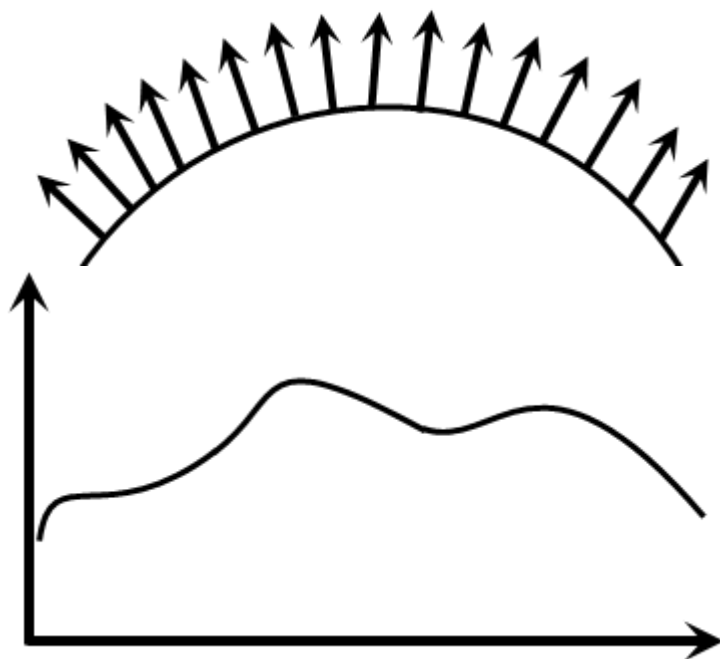


图 2. 三维几何面片的法向量

实时渲染中的光照计算，特别是漫反射光和镜面反射光（Phong 光照模型），依赖平面的法向量，Blinn 技术的原理就是，使用一个扰动函数，对平面的法向量进行扰动，再将扰动后的法向量用于光照的计算。图 3（a）~（d）描述了 Blinn 技术对法向量扰动的基本过程。



(a)

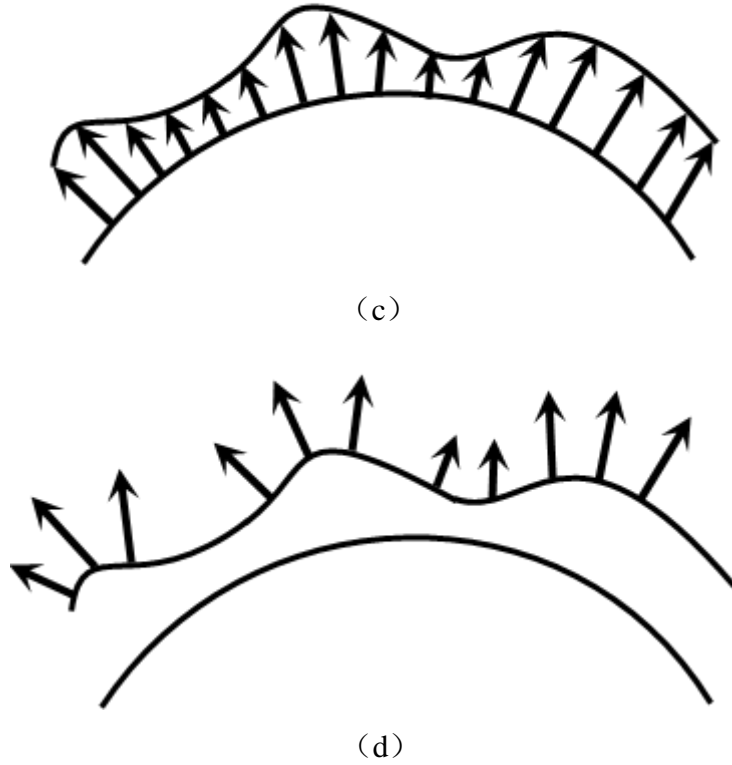


图 3. 法向量的扰动过程

设扰动函数表示为 $F(u, v)$ ，原始平面上的一个点 P ，经过扰动后的位置为：

$$P' = P + F \cdot \vec{N} / |\vec{N}| \quad (4)$$

而扰动的法向量 \vec{N}' 仍然可以由两个方向向量的偏微分得到：

$$\vec{N}' = \vec{P}'_u \times \vec{P}'_v \quad (5)$$

计算新的位置点 P' 在 u, v 方向上的偏微分，得到：

$$\begin{cases} \vec{P}'_u = \vec{P}_u + F_u \frac{\vec{N}}{|\vec{N}|} + F \cdot \frac{d(\vec{N} / |\vec{N}|)}{du} \\ \vec{P}'_v = \vec{P}_v + F_v \frac{\vec{N}}{|\vec{N}|} + F \cdot \frac{d(\vec{N} / |\vec{N}|)}{dv} \end{cases} \quad (6)$$

为了简化问题，可以将上式简化为：

$$\begin{aligned} \vec{P}'_u &= \vec{P}_u + F_u \frac{\vec{N}}{|\vec{N}|} \\ \vec{P}'_v &= \vec{P}_v + F_v \frac{\vec{N}}{|\vec{N}|} \end{aligned} \quad (7)$$

把等式 (7) 代入等式 (5)，可以得到：

$$\vec{N}' = (P_u + F_u \frac{\vec{N}}{|\vec{N}|}) \times (P_v + F_v \frac{\vec{N}}{|\vec{N}|}) = \vec{N} + D \quad (8)$$

$$\text{其中, } D = \frac{F_u(\vec{N} \times \vec{P}_v) - F_v(\vec{N} \times \vec{P}_u)}{|\vec{N}|}。$$

2.2. 算法描述

Blinn 技术的算法描述如下所示:

在光照计算之前, 对于物体表面上的每个顶点 (像素):

1. 查询表面上的每个点 p 在高度贴图(Heightmap)上对应的点 p_r ;
2. 采用有限差分法, 计算点 p_r 处的法向量 \vec{n}_r ;
3. 设物体表面上的点 p 的法向量为 \vec{n} , 利用法向量 \vec{n}_r 来扰动“真正”的法向量 \vec{n} , 得到扰动的法向量 \vec{n}' ;
4. 采用扰动的法向量 \vec{n}' , 实现点 p 的光照计算。

显然, 凹凸纹理的深度感, 依赖光照的位置等信息, 当光照发生了变化, 深度感也随之发生变化。

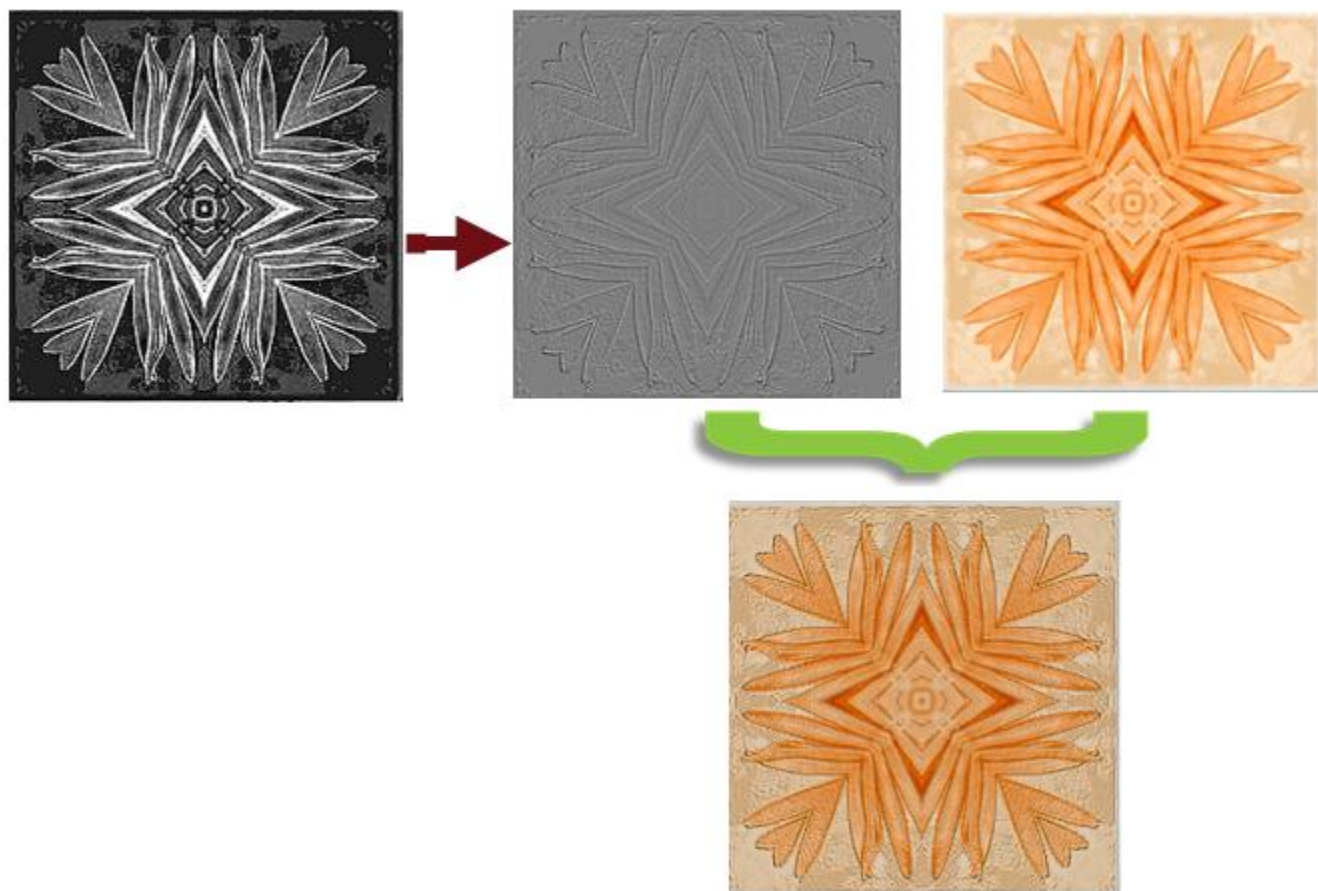


图 4. 浮雕纹理

一种 Blinn 技术的变种称为浮雕（凹凸）纹理（Emboss Bump Mapping），浮雕纹理技术使用两张纹理贴图来显示凹凸效果，一张纹理贴图用于产生浮雕效果，再与另一张纹理贴图混合，产生凹凸效果。如图 4 所示，通过对一张黑白纹理贴图的两次渲染，得到浮雕效果，再通过一次渲染，使浮雕效果与另一张彩色纹理贴图纹理混合，产生凹凸效果。

这里介绍下 NEHE^[4]实现的浮雕纹理的原理，该技术只使用到漫反射分量，没有镜面反射的效果，会由于下采样造成锯齿。漫反射光的计算公式可以表示为：

$$C = (\vec{l} \cdot \vec{n}) \cdot D_l \cdot D_m \quad (9)$$

其中， \vec{l} 表示指向光源的方向向量， D_l 表示漫反射光的颜色， D_m 表示材质的漫反射颜色。

凹凸纹理的目的就是扰动法向量 \vec{n} ，而浮雕纹理通过新的等式^[5]来估计 $\vec{l} \cdot \vec{n}$ ，达到类似扰动的目的，即：

$$F_d + m \approx \vec{l} \cdot \vec{n} \quad (10)$$

其中， F_d 表示初始的漫反射分量值， m 表示函数的一阶偏导，即表示凹凸函数的坡度。如图 4 所示， F_d 即右上角的彩色图表示的颜色值， m 是通过对灰度图的

可以用一个二维的灰度图来表示凹凸函数，偏导 m 可以通过下列方法来估计，具体的示例如图 5 所示。

1. 查询某个像素点 P 的高度值为 H_0 ，该点对应二维灰度图的纹理坐标为 (s, t) ；
2. 根据像素点 P 与光源的位置 L ，对纹理坐标进行一定的扰动，得到新的纹理坐标 $(s + \Delta s, t + \Delta t)$ 处的高度值 H_1 ；
3. 那么， $m = H_1 - H_0$ 。

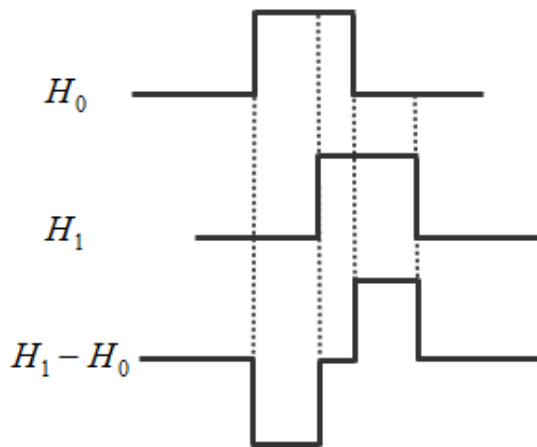


图 5. 在一维空间上，凹凸函数的一阶偏导 m 的示意图

现在考虑偏移量 $(\Delta s, \Delta t)$ 的计算，设点 P 的法向量（Normal）为 \vec{n} ，它在切线（Tangent）和二重切线（Bitangent）分别为 \vec{s}, \vec{t} ，由点 P 指向光源 L 的方向向量表示为 $\vec{l} = (L - P) / \|L - P\|$ ，那么：

$$\Delta s = \lambda (\vec{l} \cdot \vec{s}), \Delta t = \lambda (\vec{l} \cdot \vec{t}) \quad (11)$$

其中, λ 是一个缩放常量。

对 NEHE 第 22 节^[4]的代码进行简化, 新的代码如下所示:

3. 法线贴图技术

法线贴图 (Normal Mapping) 也是通过对光照计算的法向量进行扰动, 实现图像的凹凸效果。最早^[11]由 Krishnamurthy & Levoy^[8]提出从模型中提取模型信息的想法, 尔后 Cohen 等^[9], Cignoni 等^[10]提出将模型的法向量信息存储在纹理当中的想法, 就是法线贴图的基本思想。

首先介绍下什么是法线纹理, 法线纹理是一张存储法向量的纹理。纹理的每个像素存储着 RGB 信息, 它可以转化为法向量。设某个像素点的颜色为 (r, g, b) , 那么该点的法向量为 $(r * 2 - 1, g * 2 - 1, b * 2 - 1)$; 相反, 对于法向量 (x, y, z) , 其中, $0 \leq x, y, z \leq 1$, 它在法线纹理中存储的颜色为 $(x * 0.5 + 0.5, y * 0.5 + 0.5, z * 0.5 + 0.5)$ 。举个例子, 对于法向量 $(0.3, 0.4, 0)$, 它在法线纹理中的颜色值为 $((0.3 * 0.5 + 0.5), (0.4 * 0.5 + 0.5), (0 * 0.5 + 0.5)) = (0.65, 0.7, 0.5)$ 。法线贴图纹理如图 6 所示。

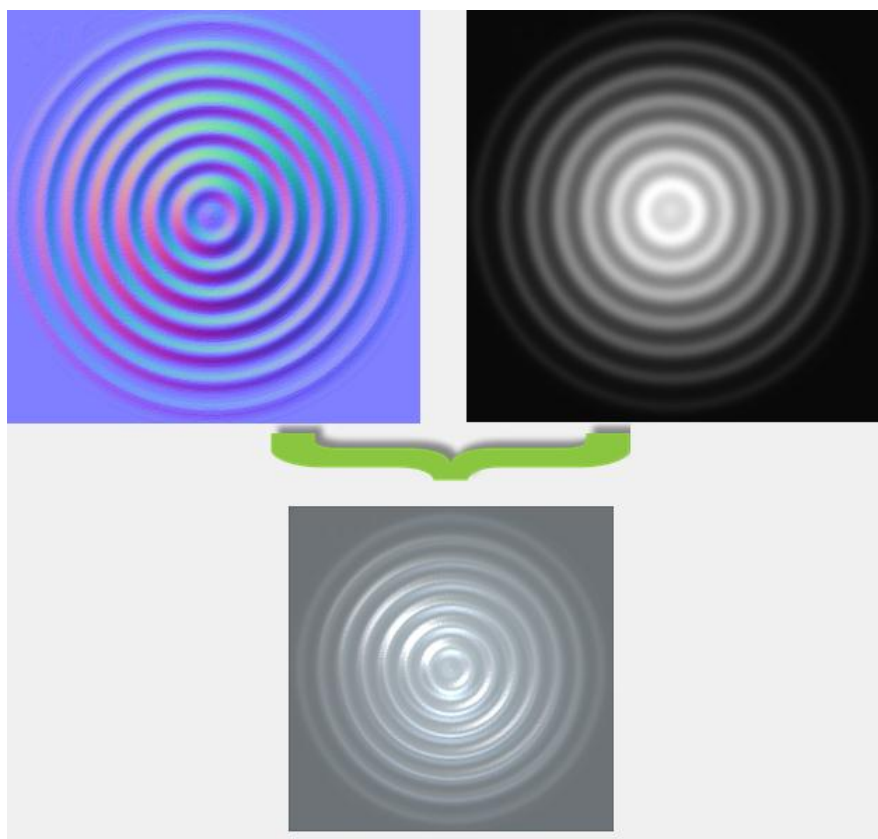


图 6. 法线纹理^[12]

设人眼在位置 O (原点), 模型上存在一个点 P , 对应的纹理坐标为 (s, t) , 法线贴图的颜色值为 (r, g, b) , 光源在点 Q (对象空间), 那么如何计算点 P 处的光照值呢? 这里, 引入切线空间的概念^[13, 14]。

如图 7 所示表示位置 A 处的切线空间, 它是一个相对于纹理坐标系的坐标系, 三条坐标轴分别为: 法向量 \vec{N} , 切线(Tangent) \vec{T} , 双切线(Bitangent) \vec{B} (在世界空间下)。在切线空间下, 这三条坐标轴分别为 $(0, 0, 1), (0, 0, 1), (0, 0, 1)$ 。相对于光源, 要计算出光源点 Q 在点 P 上的颜色值, 即需要计算视点坐标系统下光照向量 \vec{PQ} 、视点向量 \vec{PO} 在切线空间下的坐标值。

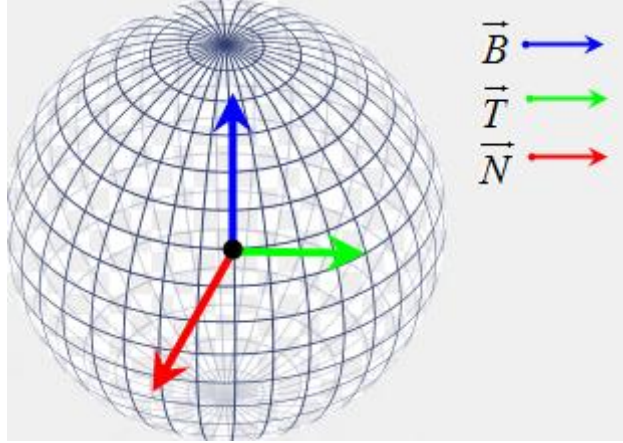


图 7. 切线空间

设三维空间上有三个点 P_1, P_2, P_3 , 纹理坐标分别为 $(s_1, t_1), (s_2, t_2), (s_3, t_3)$, 则有:

$$\begin{cases} (s_1', t_1') = (s_2, t_2) - (s_1, t_1) \\ (s_2', t_2') = (s_3, t_3) - (s_1, t_1) \end{cases} \begin{cases} D_1 = P_2 - P_1 \\ D_2 = P_3 - P_1 \end{cases} \quad (12)$$

可以得到等式:

$$\begin{cases} D_1 = s_1' \vec{T} + t_1' \vec{B} \\ D_2 = s_2' \vec{T} + t_2' \vec{B} \end{cases} \quad (13)$$

转化为矩阵表示为:

$$\begin{pmatrix} D_{1,x} & D_{1,y} & D_{1,z} \\ D_{2,x} & D_{2,y} & D_{2,z} \end{pmatrix} = \begin{pmatrix} s_1' & t_1' \\ s_2' & t_2' \end{pmatrix} \begin{pmatrix} T_x & T_y & T_z \\ B_x & B_y & B_z \end{pmatrix} \quad (14)$$

通过计算 (s, t) 矩阵的逆矩阵, 可以得到等式:

$$\begin{pmatrix} T_x & T_y & T_z \\ B_x & B_y & B_z \end{pmatrix} = \frac{1}{s_1 t_2 - s_2 t_1} \begin{pmatrix} t_2 & -t_1 \\ -s_2 & s_1 \end{pmatrix} \begin{pmatrix} D_{1,x} & D_{1,y} & D_{1,z} \\ D_{2,x} & D_{2,y} & D_{2,z} \end{pmatrix} \quad (15)$$

通过等式 (15) 计算出切线向量和双切线向量, 那么可以得到变换矩阵:

$$M_1 = \begin{pmatrix} T_x & T_y & T_z \\ B_x & B_y & B_z \\ N_x & N_y & N_z \end{pmatrix} \quad (16)$$

通过变换矩阵 M_1 , 可以将点由对象空间变换到切线空间, 它的逆矩阵就可以把坐标由切线空间变换为对象空间下的坐标, 需要计算出矩阵 M_1 的逆矩阵即可。采用 Gram-Schmidt 正交化方法, 可以计算出新的切线向量和双切线向量:

$$\begin{cases} \vec{T}' = \vec{T} - \vec{N}(\vec{N} \cdot \vec{T}) \\ \vec{B}' = \vec{B} - (\vec{N} \cdot \vec{B})\vec{N} - (\vec{T}' \cdot \vec{B})\vec{T}' \end{cases} \quad (17)$$

实际上，我们并不需计算双切线向量 \vec{B}' ，可以通过 $\vec{N}' \times \vec{T}'$ 出 \vec{B}' ，所以逆矩阵可以表示为：

$$M_2 = \begin{pmatrix} T'_x & T'_y & T'_z \\ B'_x & B'_y & B'_z \\ N'_x & N'_y & N'_z \end{pmatrix} \quad (18)$$

至此，我们得到了将坐标由对象空间变换到切线空间的变换矩阵 M_2 。那么，光照方向 \vec{PQ} 和物点位置 \vec{PO} 转化为切线空间下的坐标为： $M_2 \cdot \vec{PQ}$ 和 $M_2 \cdot \vec{PO}$ 。点 P 在法线纹理的纹理颜色值为 (r, g, b) ，它表示的法向量为 (x, y, z) ，就可以利用 Phong 光照模型计算出 P 的 RGB 颜色了。

最后给出法线贴图技术的着色器代码如下所示：

顶点着色器代码 NormalMapping.vert:

```
#version 330 core
layout(location = 0) in vec3 Vertex;
layout(location = 1) in vec2 VertexUV;
layout(location = 2) in vec3 NormalModelSpace;
layout(location = 3) in vec3 TangentModelSpace;
layout(location = 4) in vec3 BitangentModelSpace;
out vec2 TexVertUV;
out vec3 PosWorldSpace;
out vec3 LightDirTangSpace;
out vec3 EyeDirTangSpace;
uniform mat4 ModelViewProj;
uniform mat4 View;
uniform mat4 Model;
uniform mat3 MV3x3;
uniform vec3 LightPos;
void main(){
    // Output position of the vertex, in clip space : MVP * position
    gl_Position = ModelViewProj * vec4(Vertex, 1);
    // Position of the vertex, in worldspace : Model * position
    PosWorldSpace = (Model * vec4(Vertex,1)).xyz;
    // Vector that goes from the vertex to the camera, in camera space.
    // Assume the camera is at (0,0,0) in world space.
    vec3 eyeDirCamSpace = (View * (vec4(0,0,0, 1) - vec4(PosWorldSpace,1))).xyz;
    // Vector that goes from the vertex to the light, in camera space.
    vec3 lightDirCamSpace = (View * (vec4(LightPos,1) - vec4(PosWorldSpace, 1))).xyz;
    // UV of the vertex. No special space for this one.
    TexVertUV = VertexUV;
    // model to camera = ModelView
    vec3 TangentCamSpace = MV3x3 * TangentModelSpace;
    vec3 BitangentCamSpace = MV3x3 * BitangentModelSpace;
    vec3 NormalCamSpace = MV3x3 * NormalModelSpace;
    // You can use dot products instead of building this matrix and transposing it. See References for details.
    mat3 TBN = transpose(mat3(TangentCamSpace, BitangentCamSpace, NormalCamSpace));
    LightDirTangSpace = TBN * lightDirCamSpace;
    EyeDirTangSpace = TBN * eyeDirCamSpace;
}
```

片断着色器代码 NormalMapping.frag:

```
#version 330 core
in vec2 TexVertUV;
in vec3 LightDirTangSpace;
```



```

in vec3 EyeDirTangSpace;
out vec3 color;
uniform sampler2D DiffTexSampler;
uniform sampler2D NormTexSampler;
uniform vec3 LightPos;
void main(){
    // Light emission properties
    // You probably want to put them as uniforms
    vec3 lightColor = vec3(1,1,1);
    float LightPower = 3.0;
    // Material properties
    vec3 d = texture2D(DiffTexSampler, TexVertUV).rgb;
    // Normal of the computed fragment, in camera space
    vec3 n = normalize(texture2D(NormTexSampler, vec2(TexVertUV.x, TexVertUV.y)).rgb * 2.0 - 1.0);
    // Direction of the light (from the fragment to the light)
    vec3 l = normalize(LightDirTangSpace);
    vec3 v = normalize(EyeDirTangSpace);
    float power = 0.3;
    // ambient lighting
    float iamb = 0.1;
    // diffuse lighting
    float idiff = clamp(dot(n, l), 0, 1);
    float ispec = clamp(dot(v + l, n), 0, 1) * power;
    color = d * (iamb + idiff + ispec);
}

```

4. 视差贴图技术

4.1. 综述

视差贴图技术（ParallaxMapping）可以看成是法线贴图技术的加强版，并没有改变模型的结构，而只是通过改变光照的计算达到 3D 视感。对于法线贴图技术来说，它存在一个问题，例如一个墙壁上的砖块，当你以一定的倾斜角观察它的时候，依旧可以看到砖块之间的缝隙，砖块间没有互相遮挡的效果，视差贴图技术就是为了解决这个问题，如图 8 所示，图(a)和图(b)分别是法线贴图技术和视差贴图技术达到的效果，显然图(b)的石头立体感更加显著。

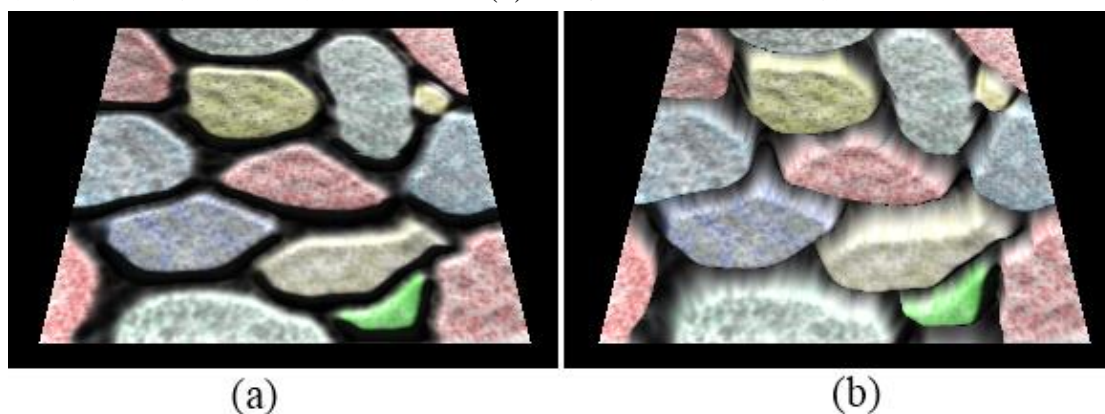


图 8. 法线贴图技术和视差贴图技术的效果图

视差贴图技术最早由 Kaneko 等^[15]在 2001 年提出的，后来被持续改进，主要有下面几个变种：1) Parallax Mapping with Offset Limiting, 2) Steep Parallax

Mapping, 3) Relief Parallax Mapping, 4) Parallax Occlusion Mapping (嗯, 不知道怎么翻译这几个名词)。Dujgta^[16]对这几个技术有非常清晰的阐述, 这里分别对这几个技术进行介绍。

特别注意: 视差贴图技术解决的凹凸纹理中无法解决互相遮挡的问题。

为了实现视差贴图技术, 至少需要有三种纹理贴图: 高度贴图纹理, 法线贴图纹理和漫反射贴图纹理, 分别如图 9(a)、(b)、(c)所示。深度贴图纹理的 R 通道、G 通道、B 通道和 A 通道的值是相同的, 黑色的表示深度值为 0, 白色的表示深度值为 1; 法线贴图纹理, 有 RGB 三个颜色通道, 因此, 可以把深度贴图纹理和法线贴图纹理合并为一张纹理, RGB 通道表示法线, A 通道表示深度; 漫反射贴图纹理用于模型表示的颜色渲染。

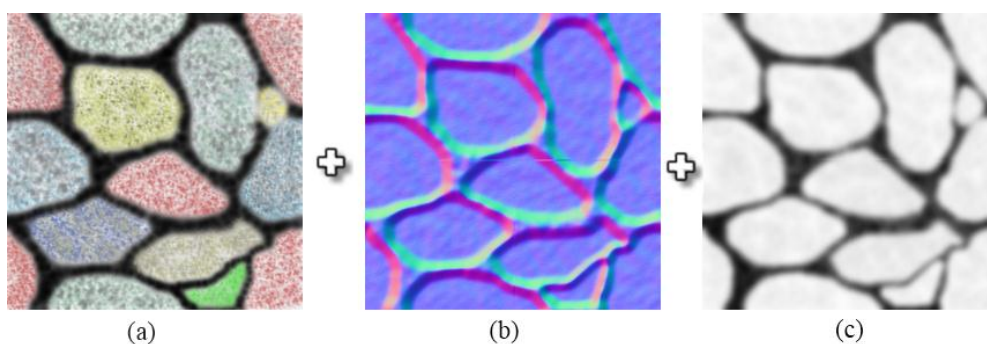


图 9. 三种贴图纹理, (a) 深度贴图纹理, (b) 法线贴图纹理, (c) 漫反射贴图纹理

视差贴图技术跟法线贴图技术的区别在于, 它需根据眼睛位置和深度贴图信息, 对法线进行偏移。原理如图 10 所示, 法线贴图技术计算视点向量与纹理平面的交点在 t_0 位置, 但实际上, 由于纹理表现存在一定的高度值, 采用 t_0 处的纹理坐标计算出的颜色值存在一定的误差。视差贴图技术的目的就是: 基于视点向量 \vec{v} , 计算出真实的位置 t_1 处的纹理坐标。

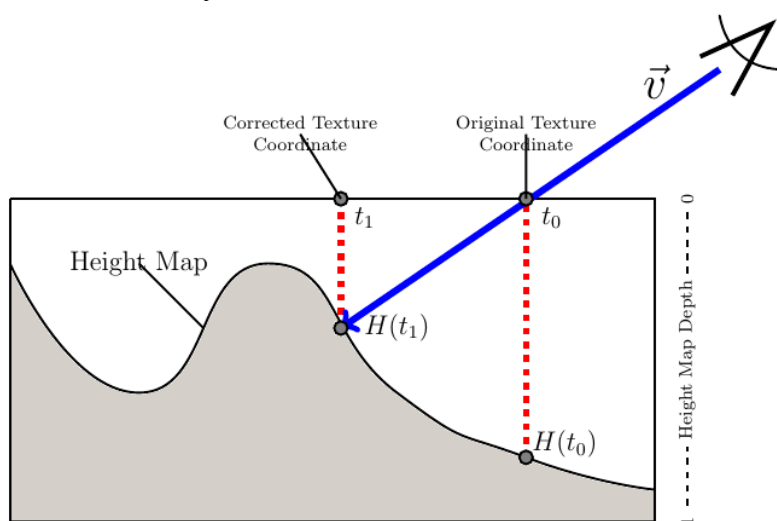


图 10. 视差贴图技术原理示意图

这里给出视差贴图技术的着色器的代码结构，顶点着色器与法线贴图技术的相同，但是片断着色器添加了对得到的纹理坐标进一步进行扰动，从而采用新的纹理坐标处的法向量进行光照的计算。

顶点着色器代码 ParallaxMapping.vert:

```
#version 330 core
layout(location = 0) in vec3 Vertex;
layout(location = 1) in vec2 VertexUV;
layout(location = 2) in vec3 NormalModelSpace;
layout(location = 3) in vec3 TangentModelSpace;
layout(location = 4) in vec3 BitangentModelSpace;
out vec2 TexVertUV;
out vec3 EyeTangSpace;
out vec3 LightTangSpace;
uniform mat4 ModelViewProj;
uniform mat4 View;
uniform mat4 Model;
uniform mat3 MV3x3;
uniform vec3 LightPos;
uniform int gSwitch;
void main(){
    // Output position of the vertex, in clip space : MVP * position
    gl_Position = ModelViewProj * vec4(Vertex, 1);
    // the View matrix is identity here.
    // Position of the vertex, in worldspace : Model * position
    vec3 posWorldSpace = (Model * vec4(Vertex,1)).xyz;
    // Vector that goes from the vertex to the light.
    vec3 lightPosWorldSpace = (View * vec4(LightPos,1)).xyz;
    vec3 lightDirWorldSpace = normalize(lightPosWorldSpace - posWorldSpace);
    vec3 camPosWorldSpace = vec3(0,0,0);
    vec3 camDirCamSpace = normalize(camPosWorldSpace - posWorldSpace);
    // UV of the vertex. No special space for this one.
    TexVertUV = VertexUV;
    // model to camera = ModelView
    vec3 TangentCamSpace = MV3x3 * TangentModelSpace;
    vec3 BitangentCamSpace = MV3x3 * BitangentModelSpace;
    vec3 NormalCamSpace = MV3x3 * NormalModelSpace;
    // You can use dot products instead of building this matrix and transposing it. See References for details.
    mat3 TBN = transpose(mat3(TangentCamSpace, BitangentCamSpace, NormalCamSpace));
    LightTangSpace = TBN * lightDirWorldSpace;
    EyeTangSpace = TBN * camDirCamSpace;
}
```

片段着色器代码 ParallaxMapping.frag:

```
#version 330 core
in vec2 TexVertUV;
in vec3 EyeTangSpace;
in vec3 LightTangSpace;
out vec3 color;
uniform sampler2D DiffTexSampler;
uniform sampler2D NormTexSampler;
uniform vec3 LightPos;
uniform int gSwitch;
float gHeightScale = 0.1;

// Calculates lighting by Blinn-Phong model and Normal Mapping
// Returns color of the fragment
vec3 normalMappingLighting(in vec2 t, in vec3 l, in vec3 v){
    // restore normal from normal map
```

```

vec3 n = normalize(texture(NormTexSampler, t).rgb * 2.0 - 1.0);
vec3 d = texture(DiffTexSampler, t).rgb;
float power = 0.3;
// ambient lighting
float iamb = 0.1;
// diffuse lighting
float idiff = clamp(dot(n, l), 0, 1);
float ispec = clamp(dot(v + l, n), 0, 1) * power;
return d * (iamb + idiff + ispec);
}
vec2 pallaxMapping(in vec3 v, in vec2 t){
    .....
}
void main(){
    // Direction of the light (from the fragment to the light)
    vec3 l = normalize(LightTangSpace);
    // Direction of the eye (from the fragment to the eye)
    vec3 v = normalize(EyeTangSpace);
    vec2 t = pallaxMapping2(v, TexVertUV);
    color = normalMappingLighting(t, l, v);
}

```

4.2. Parallax Mapping with Offset Limiting

最简单的视差贴图技术，通过单步扰动纹理坐标来实现，称之为 Parallax Mapping with Offset Limiting，虽然它的表现却让人很失望，但它是后续几种视差技术的基础，这里先对该技术进行介绍。

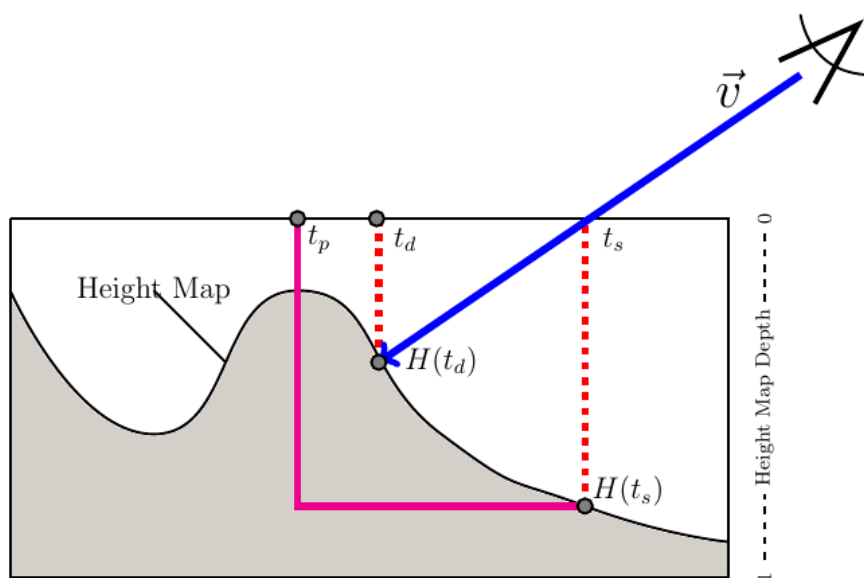


图 11. Parallax Mapping with Offset Limiting 原理示意图

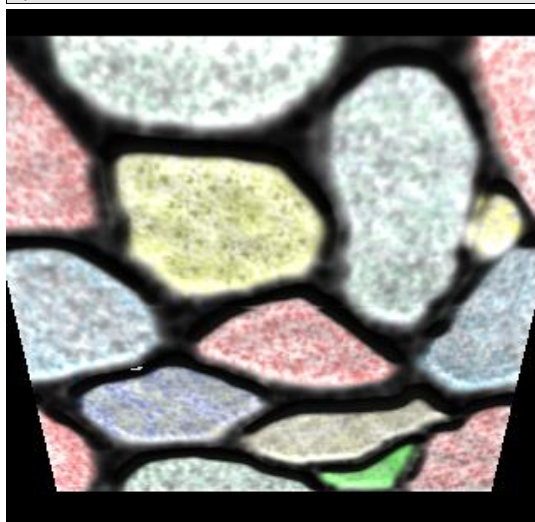
如图 11 所示，设视点向量 \vec{v} 是在切线空间下的数值，那么它的 z 轴与纹理平面互相垂直，我们的目的是根据纹理坐标 t_s 和它的深度值 $H(t_s)$ 估计出一个纹理

坐标 t_p 使它尽可能的靠近 t_d 。估计方程式可以表示为:

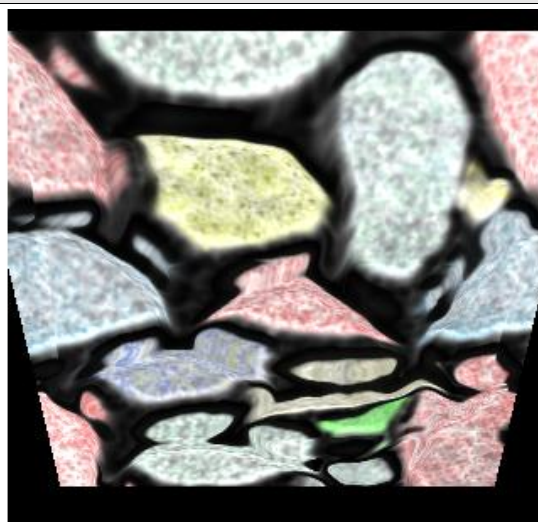
$$t_p = t_s + \vec{v}_{xy} / \vec{v}_z * H(t_s) * scale \quad (19)$$

其中,通常 $scale$ 的取值介于 $[0,0.5]$ 之间^[16], 该算法得到的效果如图 12 所示, 相应的片断着色器代码如下所示:

```
vec2 pallaxWithOffsetLimit(in vec3 v, in vec2 t){
    float height = texture(NormTexSampler, t).a;
    vec2 offset = v.xy / v.z * height * gHeightScale;
    return t - offset;
}
```



(a)



(b)

图 12. Parallax Mapping with Offset Limiting 效果图对比, (a) 法线贴图效果图, (b) 视差贴图效果图

4.3. Steep Parallax Mapping

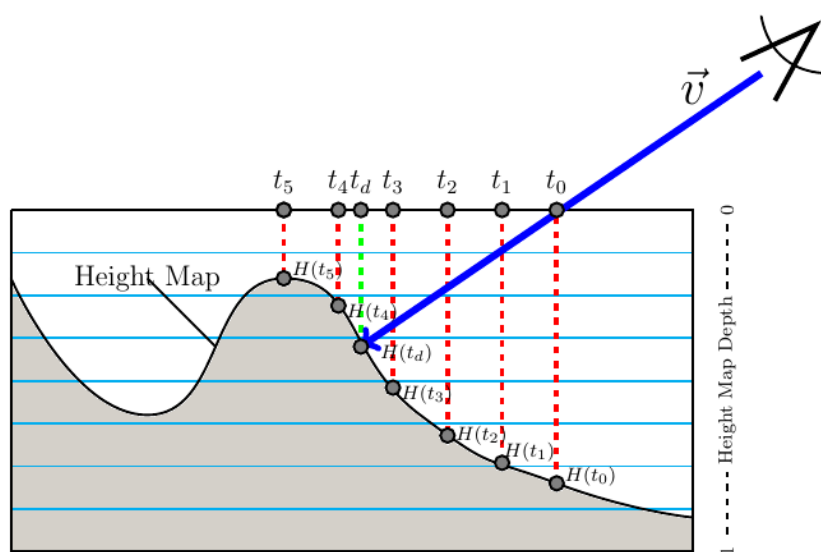


图 13. SPM 原理示意图

与 Parallax Mapping with Offset Limiting 技术不同的是, Steep Parallax

Mapping(SPM)有对计算出的新的纹理坐标进行校验，判断它是否尽可能的接近真实的纹理坐标值。它把深度图的范围 $[0,1]$ ，平均分成 n 份，每次移动一点，直到找到一个点在层表面的下方（即当前的层的深度比采样点的深度值大），停止查询，选择当前点作为目标点。设 $n=8$ 为例，如图 13 所示，第一次判断点 t_0 ，该点在第 1 层上方（即从上往下数第一条蓝绿色线），搜索下一个点；判断点 t_1 ，它也在第 2 层上方，搜索下一个点；直到找到 t_4 ，即是我们要找的目标点。

如果 n 值越大，则计算出来的纹理坐标越接近实际值，但会降低性能；如果 n 的取值较小，就会产生明显的锯齿效果，如图 14 所示。

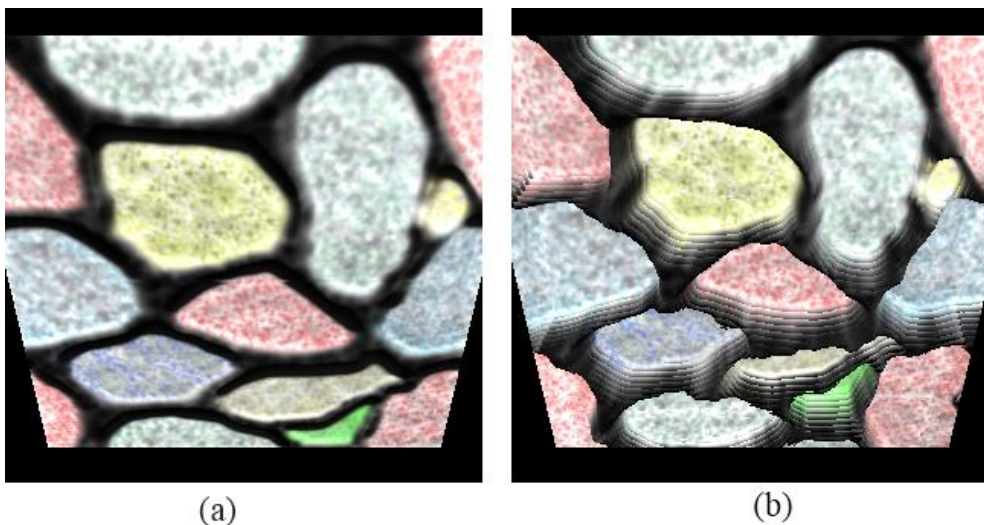


图 14. SPM 效果图对比，(a) 法线贴图效果图，(b) 视差贴图效果图
SPM 技术的着色器代码如下所示：

```
vec2 steepPallaxMapping(in vec3 v, in vec2 t){
    // determine number of layers from angle between V and N
    const float minLayers = 5;
    const float maxLayers = 15;
    float numLayers = mix(maxLayers, minLayers, abs(dot(vec3(0, 0, 1), v)));
    // height of each layer
    float layerHeight = 1.0 / numLayers;
    // depth of current layer
    float currentLayerHeight = 0;
    // shift of texture coordinates for each iteration
    vec2 dtex = gHeightScale * v.xy / v.z / numLayers;
    // current texture coordinates
    vec2 currentTextureCoords = t;
    // get first depth from heightmap
    float heightFromTexture = texture(NormTexSampler, currentTextureCoords).a;
    // while point is above surface
    while(heightFromTexture > currentLayerHeight) {
        // to the next layer
        currentLayerHeight += layerHeight;
        // shift texture coordinates along vector V
        currentTextureCoords -= dtex;
        // get new depth from heightmap
        heightFromTexture = texture(NormTexSampler, currentTextureCoords).a;
    }
    return currentTextureCoords;
}
```


4.4. Relief Parallax Mapping and Parallax Occlusion Mapping

Relief Parallax Mapping (RPM) 与 SPM 技术相比，多了一个后处理。如图 13 所示，即找到点 t_4 后，再在 t_3 和 t_4 进行一定步骤的二分查找，但是产了较为明显的效果改进，如图 15 所示。

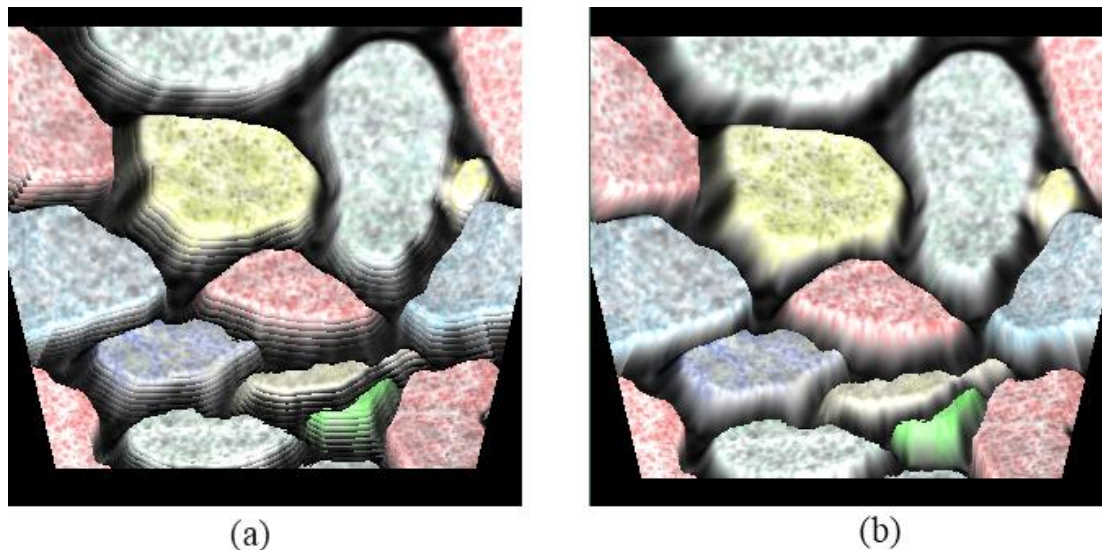


图 15.效果图，(a) SPM 效果图，(b) RPM 效果图

RPM 技术的着色器代码如下所示：

```
vec2 reliefParallaxMapping(in vec3 v, in vec2 t){
    // determine required number of layers
    const float minLayers = 10;
    const float maxLayers = 15;
    float numLayers = mix(maxLayers, minLayers, abs(dot(vec3(0, 0, 1), v)));
    // height of each layer
    float layerHeight = 1.0 / numLayers;
    // depth of current layer
    float currentLayerHeight = 0;
    // shift of texture coordinates for each iteration
    vec2 dtex = gHeightScale * v.xy / v.z / numLayers;
    // current texture coordinates
    vec2 currentTextureCoords = t;
    // depth from heightmap
    float heightFromTexture = texture(NormTexSampler, currentTextureCoords).a;
    // while point is above surface
    while(heightFromTexture > currentLayerHeight) {
        // go to the next layer
        currentLayerHeight += layerHeight;
        // shift texture coordinates along V
        currentTextureCoords -= dtex;
        // new depth from heightmap
        heightFromTexture = texture(NormTexSampler, currentTextureCoords).a;
    }
    // Start of Relief Parallax Mapping
    // decrease shift and height of layer by half
    vec2 deltaTexCoord = dtex / 2;
    float deltaHeight = layerHeight / 2;
    // return to the mid point of previous layer
    currentTextureCoords += deltaTexCoord;
    currentLayerHeight -= deltaHeight;
    // binary search to increase precision of Steep Parallax Mapping
    const int numSearches = 5;
    for(int i = 0; i < numSearches; i++){
```

```

// decrease shift and height of layer by half
deltaTexCoord /= 2;
deltaHeight /= 2;
// new depth from heightmap
heightFromTexture = texture(NormTexSampler, currentTextureCoords).a;
// shift along or against vector V
if(heightFromTexture > currentLayerHeight) // below the surface{
    currentTextureCoords -= deltaTexCoord;
    currentLayerHeight += deltaHeight;
}
else // above the surface{
    currentTextureCoords += deltaTexCoord;
    currentLayerHeight -= deltaHeight;
}
}
return currentTextureCoords;
}

```

RPM 技术通过在 t_3 和 t_4 范围内做二分查找，得到最终的纹理坐标；但是 POM 技术只基于当前的层信息，对 t_3 、 t_4 进行加权计算得到最终的结果。所以 POM 的性能比 RPM 技术更佳，但是效果比它略差，由于忽略了更多的细节，有可能会产生错误的结果。RPM 和 POM 的效果对比如图 16 所示，并不会看出明显的差异。

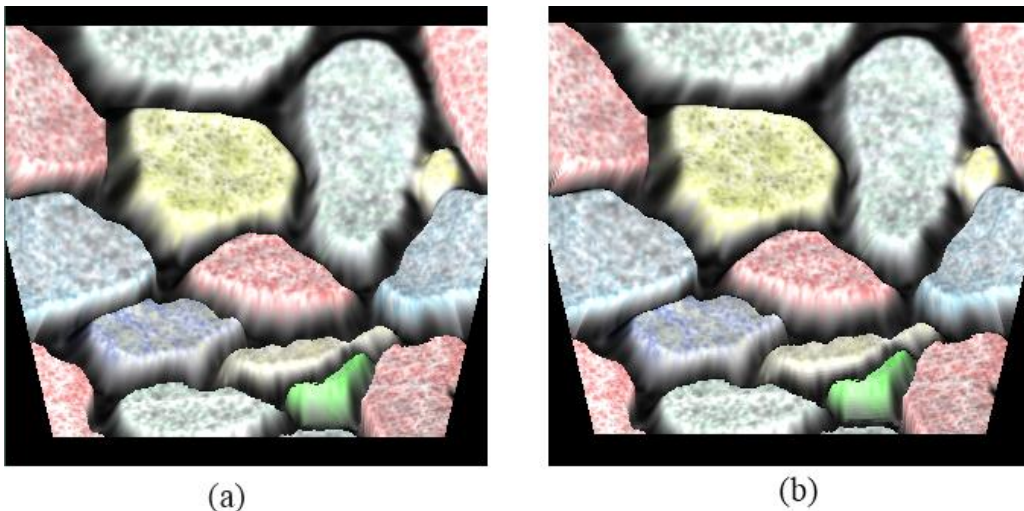


图 15.效果图，(a) RPM 效果图，(b) POM 效果图

POM 技术的着色器代码如下所示：

```

vec2 occlusionPallaxMapping1(in vec3 v, in vec2 t){
    // determine optimal number of layers
    const float minLayers = 10;
    const float maxLayers = 15;
    float numLayers = mix(maxLayers, minLayers, abs(dot(vec3(0, 0, 1), v)));
    // height of each layer
    float layerHeight = 1.0 / numLayers;
    // current depth of the layer
    float curLayerHeight = 0;
    // shift of texture coordinates for each layer
    vec2 dtex = gHeightScale * v.xy / v.z / numLayers;
    // current texture coordinates
    vec2 currentTextureCoords = t;
    // depth from heightmap
    float heightFromTexture = texture(NormTexSampler, currentTextureCoords).a;
    // while point is above the surface
    while(heightFromTexture > curLayerHeight) {
        // to the next layer
    }
}

```

```

    curLayerHeight += layerHeight;
    // shift of texture coordinates
    currentTextureCoords -= dtex;
    // new depth from heightmap
    heightFromTexture = texture(NormTexSampler, currentTextureCoords).a;
}
// previous texture coordinates
vec2 prevTCoords = currentTextureCoords + dtex;
// heights for linear interpolation
float nextH = heightFromTexture - curLayerHeight;
float prevH = texture(NormTexSampler, prevTCoords).a - curLayerHeight + layerHeight;
// proportions for linear interpolation
float weight = nextH / (nextH - prevH);
// interpolation of texture coordinates
vec2 finalTexCoords = prevTCoords * weight + currentTextureCoords * (1.0-weight);
// return result
return finalTexCoords;
}

```

此外，提供另外一个版本的 POM 的实现，它是由 Zink^[17]采用 HLSL 改为 GLSL 的实现版本，与前面的实现相比，边缘更加光滑，如图 16 所示，着色器代码如下所示：

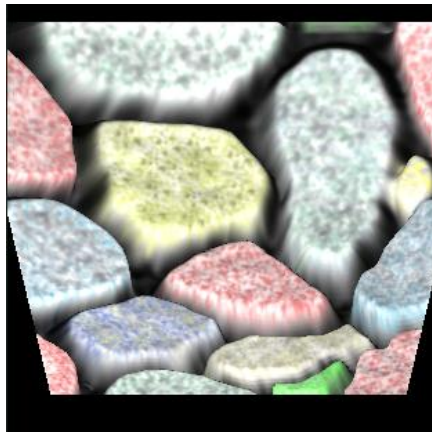


图 15. POM 效果图

```

vec2 occlusionPallaxMapping2(in vec3 v, in vec2 t){
    int      nMaxSamples      = 15;
    int      nMinSamples      = 10;
    float    fHeightMapScale  = 0.1;
    int nNumSamples = int(mix(nMaxSamples, nMinSamples, abs(dot(vec3(0, 0, 1), v))));
    // height of each layer
    float fStepSize = 1.0 / float(nNumSamples);
    // Calculate the parallax offset vector max length.
    // This is equivalent to the tangent of the angle between the
    // viewer position and the fragment location.
    float fParallaxLimit = length(v.xy) / v.z;
    // Scale the parallax limit according to heightmap scale.
    fParallaxLimit *= fHeightMapScale;
    // Calculate the parallax offset vector direction and maximum offset.
    vec2 vOffsetDir = normalize(v.xy);
    vec2 vMaxOffset = vOffsetDir * fParallaxLimit;
    // Initialize the starting view ray height and the texture offsets.
    float fCurrRayHeight = 1.0;
    vec2 vCurrOffset = vec2(0, 0);
    vec2 vLastOffset = vec2(0, 0);
    vec2 dx = dFdx(t);
    vec2 dy = dFdy(t);
    float fLastSampledHeight = 1;
    float fCurrSampledHeight = 1;
    int nCurrSample = 0;
    while ( nCurrSample < nNumSamples ){
        // Sample the heightmap at the current texcoord offset.  The heightmap

```

```

// is stored in the alpha channel of the height/normal map.
//fCurrSampledHeight = tex2Dgrad( NH_Sampler, IN.texcoord + vCurrOffset, dx, dy ).a;
fCurrSampledHeight = textureGrad(NormTexSampler, TexVertUV + vCurrOffset, dx, dy).a;
// Test if the view ray has intersected the surface.
if (fCurrSampledHeight > fCurrRayHeight){
    // Find the relative height delta before and after the intersection.
    // This provides a measure of how close the intersection is to
    // the final sample location.
    float delta1 = fCurrSampledHeight - fCurrRayHeight;
    float delta2 = (fCurrRayHeight + fStepSize) - fLastSampledHeight;
    float ratio = delta1 / (delta1 + delta2);

    // Interpolate between the final two segments to
    // find the true intersection point offset.
    vCurrOffset = ratio * vLastOffset + (1.0 - ratio) * vCurrOffset;

    // Force the exit of the while loop
    nCurrSample = nNumSamples + 1;
}
else{
    // The intersection was not found. Now set up the loop for the next
    // iteration by incrementing the sample count,
    nCurrSample++;
    // take the next view ray height step,
    fCurrRayHeight -= fStepSize;
    // save the current texture coordinate offset and increment
    // to the next sample location,
    vLastOffset = vCurrOffset;
    vCurrOffset += fStepSize * vMaxOffset;
    // and finally save the current heightmap height.
    fLastSampledHeight = fCurrSampledHeight;
}
}
// Calculate the final texture coordinate at the intersection point.
return TexVertUV + vCurrOffset;
}

```

参考

- [1] James F. Blinn. "Simulation of wrinkled surfaces." ACM SIGGRAPH Computer Graphics, vol.12, no.3, pp.286-292, 1978.
- [2] Wikipedia. "Bump Mapping." website
<https://en.wikipedia.org/wiki/Bump_mapping>.
- [3] Tomas Akenine-Möller, Eric Haines, and Naty Hoffman. *Real-time rendering*. CRC Press, 2008.
- [4] NEHE Production. "22. Bump-Mapping, Multi-Texturing & Extensions."
- [5] Michael I. Gold. "Emboss Bump Mapping." NVIDIA Corporation. (ppt)
- [6] John Schlag. "Fast embossing effects on raster image data." Graphics Gems IV. Academic Press Professional, Inc. 1994.
- [7] Brian Lingard. "Bump Mapping." website
<<http://web.cs.wpi.edu/~matt/courses/cs563/talks/bump/bumpmap.html>>, 1995.
- [8] Venkat Krishnamurthy and Marc Levoy. "Fitting smooth surfaces to dense polygon meshes." Proceedings of the 23rd annual conference on Computer graphics and interactive techniques. ACM, 1996.
- [9] Jonathan Cohen, Marc Olano, and Dinesh Manocha. "Appearance-preserving simplification." Proceedings of the 25th annual conference on Computer graphics

and interactive techniques. ACM, 1998.

- [10]Paolo Cignoni, et al. "A general method for preserving attribute values on simplified meshes." Visualization'98. Proceedings. IEEE, 1998.
- [11]Wikipedia. "Normal Mapping." website <https://en.wikipedia.org/wiki/Normal_mapping>.
- [12]Christian Petry. "Normal Mapping." website <<http://cpetry.github.io/NormalMap-Online/>>.
- [13]Eric Lengyel. "Mathematics for 3D game programming and computer graphics." Cengage Learning, 2012.
- [14]Siddharth Hegde. "Messing with Tangent Space." website <http://www.gamasutra.com/view/feature/129939/messing_with_tangent_space.php>.
- [15]Tomomichi Kaneko, et al. "Detailed shape representation with parallax mapping." Proceedings of ICAT. vol.2001, 2001.
- [16]Dujgta. "Parallax Occlusion Mapping in GLSL." website<<http://sunandblackcat.com/tipFullView.php?topicid=28>>.
- [17]Jason Zink. "A Closer Look At Parallax Occlusion Mapping." website<http://www.gamedev.net/page/resources/_/technical/graphics-programming-and-theory/a-closer-look-at-parallax-occlusion-mapping-r3262>.